

## 2. $n=2$ のとき

B22式より,  $l=1, 0, l=1$  のとき,  $m=-1, 0, 1, l=0$  のとき,  $m=0$ . 従って,  $(n, l, m)$ として,  $(2, 1, -1), (2, 1, 0), (2, 1, 1), (2, 0, 0)$ の4つ組合せがある.  $n=2, l=1$  で指定される状態を  $2p$  軌道,  $n=2, l=0$  で指定される状態を  $2s$  軌道という. 以下では,  $2p_z$  軌道の特徴を見てみよう.

$$\psi_{2,1,0}(r, \theta, \phi) = \frac{1}{4} \sqrt{\frac{1}{2\pi a_0^5}} r \exp\left(-\frac{r}{2a_0}\right) \cos\theta$$

この軌道は, 偏角  $\theta$  を含むので, 方向性がある(図6参照). また,  $xy$  平面( $\theta=\pi/2$ )では,  $\cos\theta=0$  となるから, 節が現れる.

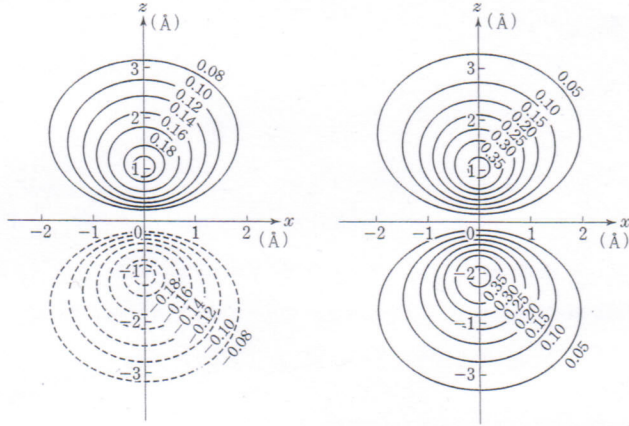


図6. 水素原子の  $2p_z$  軌道(左)とその  $2$  乗(右).

蛇足ではあるが, 数学大好きの人のために, Schrödinger 方程式という微分方程式に  $1s$  軌道という関数を代入すれば,  $1s$  準位のエネルギーが得られることを確かめておこう. これには,

$$H\psi = E\psi$$

の両辺に左側から  $\psi$  を掛けて全空間で積分すると,

$$\int_{-\infty}^{+\infty} \int_{-\infty}^{+\infty} \int_{-\infty}^{+\infty} \psi H\psi dx dy dz = \int_{-\infty}^{+\infty} \int_{-\infty}^{+\infty} \int_{-\infty}^{+\infty} \psi E\psi dx dy dz = E \int_{-\infty}^{+\infty} \int_{-\infty}^{+\infty} \int_{-\infty}^{+\infty} \psi^2 dx dy dz$$

より,

$$E = \frac{\int_{-\infty}^{+\infty} \int_{-\infty}^{+\infty} \int_{-\infty}^{+\infty} \psi H\psi dx dy dz}{\int_{-\infty}^{+\infty} \int_{-\infty}^{+\infty} \int_{-\infty}^{+\infty} \psi^2 dx dy dz}$$

を計算すればよい. 全空間で積分するのは,  $1s$  軌道が規格化されていれば, 上の第3式が  $E$  になるから, 極座標で表すと,

$$E = \frac{\int_0^{\infty} \int_0^{\pi} \int_0^{2\pi} \psi H\psi \cdot r^2 \sin\theta dr d\theta d\phi}{\int_0^{\infty} \int_0^{\pi} \int_0^{2\pi} \psi^2 \cdot r^2 \sin\theta dr d\theta d\phi}$$

となる. ちなみに,  $1s$  軌道,

$$\psi = \sqrt{\frac{1}{\pi a_0^3}} \exp\left(-\frac{r}{a_0}\right)$$